



# БИООРГАНИЧЕСКАЯ ХИМИЯ

том 1 • № 11 • 1975

УДК 577.155 ; 543.422.8

## РЕНТГЕНОСТРУКТУРНОЕ ИССЛЕДОВАНИЕ РИБОНУКЛЕАЗЫ S, МОДИФИЦИРОВАННОЙ ПИРИДОКСАЛЬ-5'-ФОСФАТОМ\*

*Борисова С. Н., Павловский А. Г., Борисов В. В.,  
Карпейский М. Я., Вайнштейн Б. К., Сосфенов Н. И.*

*Институт кристаллографии Академии наук СССР*

*Институт молекулярной биологии Академии наук СССР,  
Москва*

Получены кристаллы изомеров модифицированной пиритоксаль-Р РНКазы S : (P-Pxy)-ε-Lys-7-РНКазы S и (P-Pxy)-ε-Lys-41-РНКазы S. Проведено рентгеноструктурное исследование кристаллов модифицированной РНКазы S с разрешением 5 Å, в результате которого удалось локализовать положение фосфопиритоксильного остатка в молекуле РНКазы S. Показано, что при алкилировании пиритоксаль-Рε-аминогруппы Lys-41 возникают стерические препятствия специальному связыванию нуклеотида РНКазой S.

Изучению структуры и функции РНКазы в кристалле и в растворе посвящено значительное число работ [1—3]. Большое внимание было уделено функциональной топографии активного центра РНКазы, роли и электронному состоянию групп, входящих в его состав; Lys-41, Lys-7, His-12, His-119, Phe-120, Thr-45. Важное значение для понимания механизма связывания и превращения субстратов имеет взаиморасположение заряженных групп и в особенности ε-аминогруппы Lys-41. Используя метод химической модификации и данные рентгеноструктурного анализа кристаллов РНКазы S, модифицированной ДНФ по ε-аминогруппе Lys-41, было проведено изучение роли этой группы в функционировании фермента [2]. Модифицированный фермент — ε-ДНФ-Lys-41-РНКаза S — в кристаллическом состоянии способен специфически связывать нуклеотид аналогично тому, как это происходит для немодифицированной РНКазы S, но лишен каталитической активности. Причиной потери каталитической активности РНКазой S, по мнению авторов, является смещение ε-аминогруппы Lys-41 в результате модификации на 3 Å в сторону от каталитического участка активного центра, включающего имидазольные кольца His-12 и His-119 [2].

Недавно было показано, что введение в молекулу РНКазы A фосфопиритоксильного остатка (селективным алкилированием с помощью пиритоксаль-Р ε-аминогруппы 7-го или 41-го остатков лизина) оказывает заметное влияние на свойства His-12 и His-119 [3]. При этом относительная активность РНКазы A, модифицированной по 7-му остатку лизина, умень-

\* Сокращения: РНКаза S — каталитически активное производное РНКазы A, полученное при расщеплении субтилизином пептидной связи между 20 и 21 аминокислотными остатками; (P-Pxy)-ε-Lys-7(41)-РНКаза A(S)—РНКаза A (S), замещенная по ε-аминогруппе 7(41)-го лизина фосфопиритоксильным остатком; пиритоксаль-Р — пиритоксаль-5'-фосфат; пиритоксамин-Р — пиритоксамин-5'-фосфат; 3'-СМР — цитидин-3'-фосфат; ДНФ — динитрофторбензол.

шается примерно в 2 раза, а  $K_m$  практически не изменяется. Алкилирование 41-го остатка лизина вызывает не только инактивацию фермента, но и потерю способности к специальному связыванию нуклеотидов. Нам представлялось интересным определить положение фосфориридооксильного остатка в третичной структуре модифицированной РНКазы S и на этой основе объяснить свойства модифицированных белков. С этой целью были получены индивидуальные препараты РНКазы S, модифицированной по 41-му или 7-му остаткам лизина, и проведено рентгеноструктурное исследование кристаллов (P-Pxy)-ε-Lys-7-РНКазы S, (P-Pxy)-ε-Lys-41-РНКазы S и комплекса (P-Pxy)-ε-Lys-7-РНКазы S с 3'-СМР с разрешением 5 Å.

Мы использовали метод разностных синтезов электронной плотности, который в настоящее время широко применяется при изучении строения комплексов ферментов с лигандами [4]. Следует отметить, что этот метод может быть применен только в тех случаях, когда уже известна атомная структура нативного фермента и кристаллы комплекса изоморфны кристаллам белка. Метод разностных синтезов не только обеспечивает высокую точность (по сравнению с обычным синтезом электронной плотности), дает возможность непосредственно видеть молекулу лиганда в трехмерной структуре фермента, но и позволяет регистрировать смещение различных групп белка (сместившаяся группа проявляется в виде пары положительного и отрицательного максимумов на картах разностного синтеза электронной плотности). Таким образом, метод позволяет судить об изменениях конформационного состояния молекулы фермента при образовании комплекса.

На рис. 1, а изображена область активного центра молекулы РНКазы S, построенная по координатам, приведенным Вайкофом и соавт. [5], и облако положительной электронной плотности, полученной из разностных синтезов для (P-Pxy)-ε-Lys-7-РНКазы S. Облако электронной плотности состоит из двух перекрывающихся эллипсоидов, больший из которых (соответствующий пиридиновому циклу остатка пиридоксамин-Р) примыкает к концу боковой группы Lys-7 и простирается в сторону His-119, а меньший — располагается в районе His-119 и частично соответствует фосфатной группе модифицирующего агента.

На рис. 2 изображены сечения разностного синтеза электронной плотности (P-Pxy)-ε-Lys-41-РНКазы S. Область положительной электронной плотности, соответствующая пиридоксамин-Р, заходит глубже в щель активного центра РНКазы S, чем соответствующая область в (P-Pxy)-ε-Lys-7-РНКазе S, и состоит из двух почти не пересекающихся дисков, перпендикулярных тройной оси (рис. 1, б). Бóльший по размеру диск примыкает к ε-аминогруппе Lys-41, меньший — располагается между боковыми группами His-12 и His-119 в месте, которое в немодифицированном ферменте является фосфатсвязывающим центром [1]. Присутствие положительного и отрицательного пиков в районе боковой группы Lys-41 указывает на смещение этой группы на 1—2 Å в сторону активного центра по сравнению с ее положением в нативном ферменте.

Бóльшая часть электронной плотности (соответствующая пиридиновому циклу) на разностном синтезе (P-Pxy)-ε-Lys-41-РНКазы S имеет максимальное абсолютное значение, в 2,5 раза выше соответствующей величины на разностном синтезе (P-Pxy)-ε-Lys-7-РНКазы S. Значения положительной электронной плотности в районе His-119 на обоих синтезах примерно одинаковы и немного меньше величины электронной плотности, соответствующей пиридиновому циклу на синтезе РНКазы S, модифицированной по 7-му остатку лизина.

Для выяснения различий в способности к специальному связыванию нуклеотидов двух изомеров модифицированной РНКазы необходимо было определить расположение нуклеотида в молекуле РНКазы при комплексообразовании. Методом ЯМР-спектроскопии было показано, что характер связывания РНКазой А (S) нуклеотида в растворе сохраняется для (P-

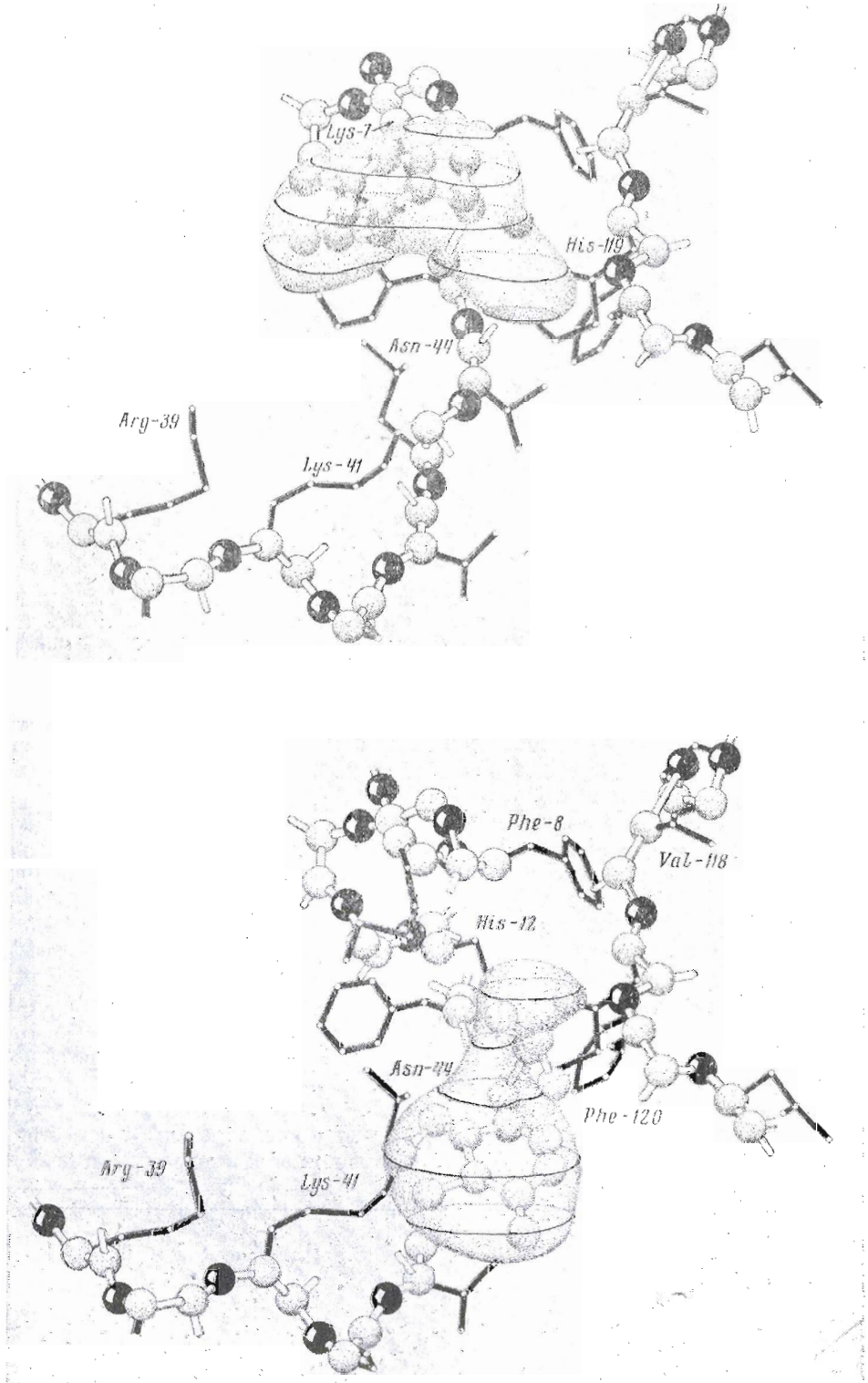


Рис. 1. Область активного центра РНКазы S с наложением на нее изображения «облака» электронной плотности, соответствующей остатку пиридоксамина-Р, примерная конформация которого указана: а — для (Р-Рху)-ε-Lys-7-РНКазы S, б — для (Р-Рху)-ε-Lys-41-РНКазы S

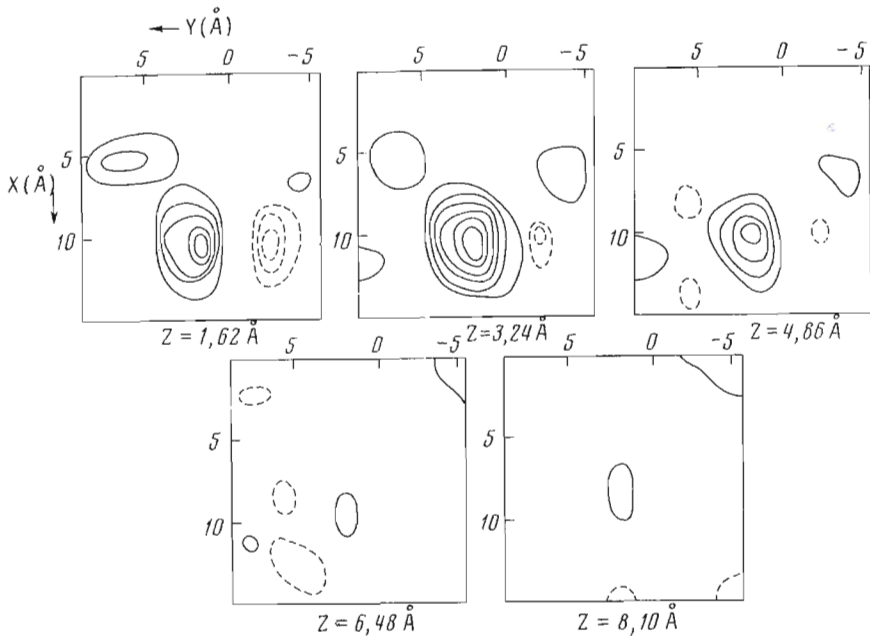


Рис. 2. Сечения разностного синтеза электронной плотности  $(P\text{-}P_{xy})\text{-}\epsilon\text{-Lys-41-RНКазы S}$ . Сплошная линия соответствует уровням положительной электронной плотности, пунктирия — отрицательным. Изолинии проведены с интервалом, равным  $1/7$  максимального значения электронной плотности. Нулевой уровень отсутствует

$P_{xy})\text{-}\epsilon\text{-Lys-7-RНКазы A (S)}$  [3], следовательно, можно было ожидать, что при рентгеноструктурном исследовании комплекса модифицированной РНКазы S и нуклеотида будет обнаружено смещение фосфопириодоксильного остатка из зоны активного центра.

Главной особенностью разностного синтеза электронной плотности комплекса  $(P\text{-}P_{xy})\text{-}\epsilon\text{-Lys-7-RНКазы S}$  с 3'-CMP (рис. 3) является наличие сильного максимума электронной плотности в глубине зоны активного центра — между боковыми группами Phe-120, Thr-45 и His-12. Величина этого максимума в 2 раза превышает максимальное значение электронной плотности на разностном синтезе РНКазы S, модифицированной по Lys-41, и в 5 раз — на синтезе РНКазы S, модифицированной по Lys-7. Облако положительной электронной плотности доходит до His-119 и протягивается еще дальше, выходя на поверхность молекулы РНКазы. Непосредственно вблизи His-119 величина облака электронной плотности понижается до того же уровня, что наблюдается в этой части молекулы фермента на двух предыдущих синтезах. Общий характер распределения электронной плотности на разностном синтезе комплекса хорошо согласуется с расположением 3'-CMP, приведенным в работах по изучению комплексов РНКазы S с нуклеотидами [1, 6].

На этом же синтезе имеется область положительной электронной плотности, слегка превышающая уровень фона, в районе конца боковой группы Lys-7 и чуть большая по абсолютной величине плотность вблизи положительно заряженных боковых групп Arg-10 и Arg-39. Пара положительного и отрицательного пиков в районе боковой группы Arg-10 говорит о смещении ее по направлению к Arg-39.

При интерпретации разностного синтеза комплекса  $(P\text{-}P_{xy})\text{-}\epsilon\text{-Lys-7-RНКазы S}$  и 3'-CMP было принято, что максимальная электронная плотность соответствует пириддиновому основанию нуклеотида. Область положительной электронной плотности в районе конца боковой группы Lys-7 и остатка Arg-39 (рис. 3) можно рассматривать как свидетельство

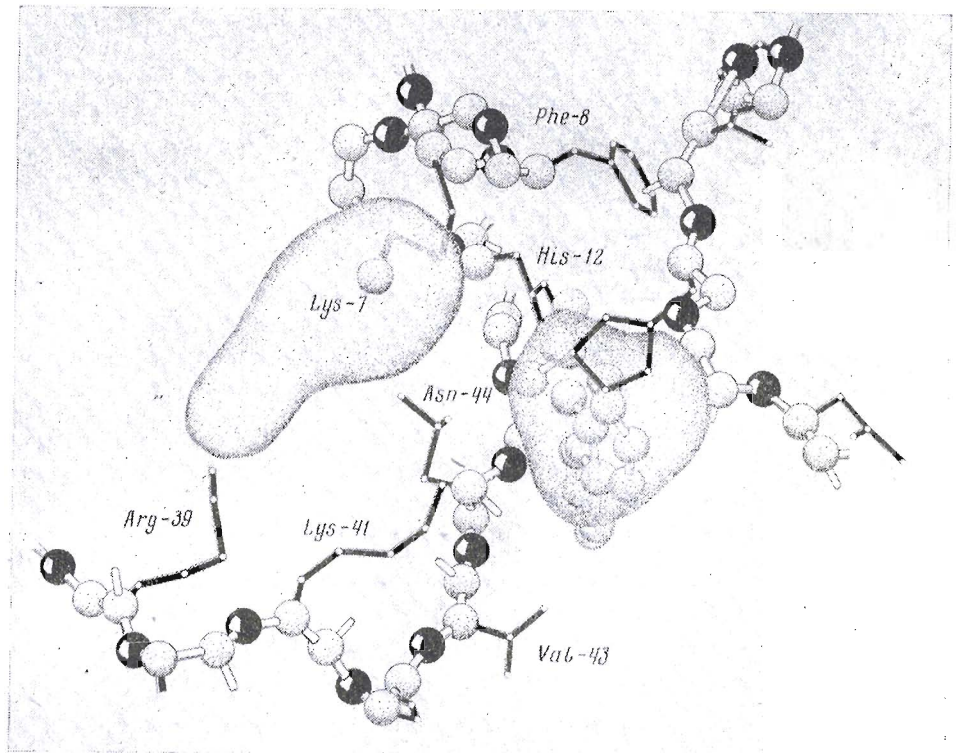


Рис. 3. Область активного центра РНКазы S с наложенным на нее изображением «облачков» электронной плотности, соответствующей фосфопиридохильному остатку и 3'-СМР, полученных из разностного синтеза для комплекса (Р-Рху)-ε-Lys-7-РНКазы S и 3'-СМР

нового расположения фосфопиридохильного остатка, отрицательно заряженная фосфатная группа которого в комплексе фиксируется вблизи положительно заряженных боковых групп Arg-39 и Arg-40. Небольшой сдвиг боковой группы Arg-10 является результатом электростатического взаимодействия с фосфатной группой фосфопиридохильного остатка.

Основной особенностью всех приведенных разностных синтезов является отсутствие большой электронной плотности, соответствующей фосфатной группе. Это, однако, объясняется тем, что рентгеновские данные по РНКазе S были получены для кристаллов, в которых в фосфатсвязывающем центре (область  $P_1$ ) находится сульфат-анион с заполнением  $\sim 75\%$  [5], поэтому мы видим в этом месте на разностных синтезах небольшую по абсолютной величине электронную плотность, соответствующую разности электронных плотностей фосфатной и сульфатной групп.

Значение электронной плотности, соответствующей пиримидиновому основанию, на разностном синтезе комплекса 3'-СМР и РНКазы S, модифицированной по ε-аминогруппе Lys-7, существенно выше величины электронной плотности пиримидинового цикла на разностных синтезах изомеров модифицированной РНКазы S, несмотря на то, что электронные плотности пиримидинового основания и пиримидинового цикла должны быть примерно равными при уровне разрешения 5 Å. Пониженная электронная плотность пиримидинового цикла может быть связана, во-первых, с реализацией в кристалле одновременно нескольких конформаций фосфопиридохильного остатка относительно молекулы белка; во-вторых, расположенный на поверхности молекулы фосфопиридохильный остаток может вытеснять сульфат-анионы, частично фиксированные на молекуле белка; наконец, облучение кристаллов модифицированной РНКазы S в ходе рентгеновского

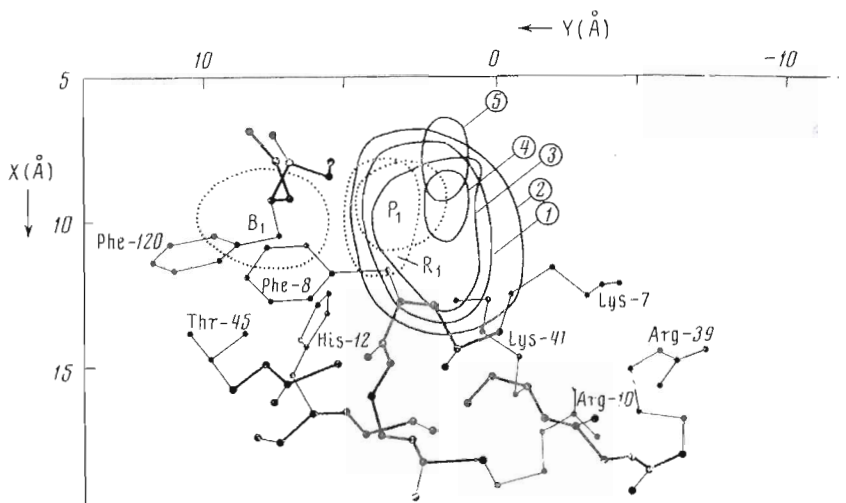


Рис. 4. Сечения разностного синтеза электронной плотности ( $P\text{-}Pxy\text{-}\epsilon\text{-Lys-41-RNase S}$ ) в проекции вдоль оси  $Z$  (сплошная линия), совмещенные со схематическим изображением областей  $B_1$ ,  $R_1$ ,  $P_1$  (пунктирная линия) нуклеотида, связанного с RNase S. Номера сечений: 1 —  $Z = 1,62 \text{ \AA}$ ; 2 —  $3,24$ ; 3 —  $4,86$ ; 4 —  $6,48$ ; 5 —  $8,10 \text{ \AA}$

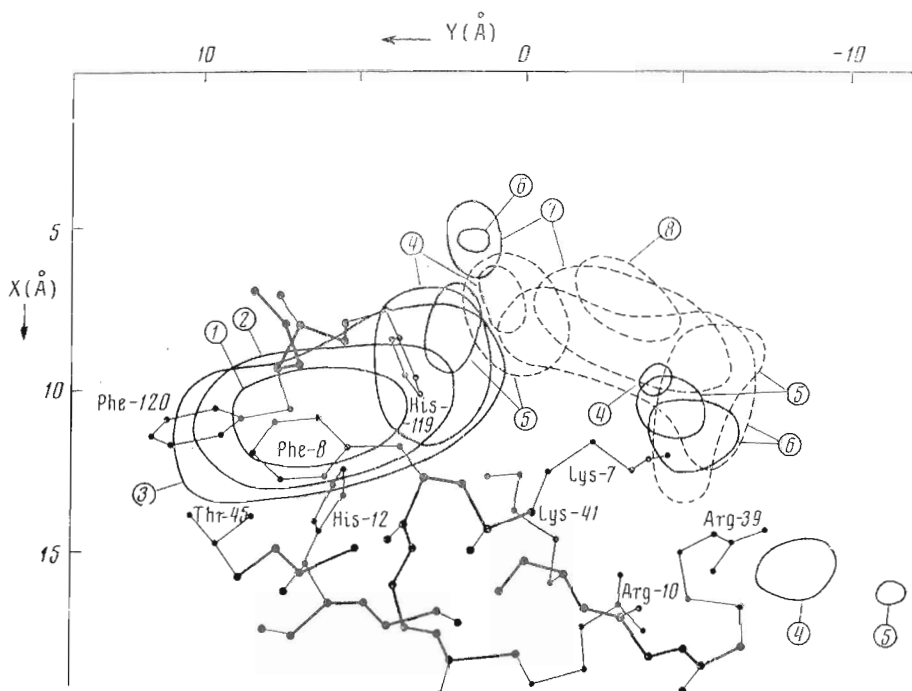


Рис. 5. Наложение сечений разностных синтезов электронной плотности в проекции вдоль оси  $Z$  ( $P\text{-}Pxy\text{-}\epsilon\text{-Lys-7-RNase S}$  (штриховая линия) и комплекса ее с 3'-СМР (сплошная линия). Номера сечений: 1 —  $Z = 1,62 \text{ \AA}$ ; 2 —  $3,24$ ; 3 —  $4,86$ ; 4 —  $6,48$ ; 5 —  $8,10$ ; 6 —  $9,72$ ; 7 —  $11,34$ ; 8 —  $12,96 \text{ \AA}$

эксперимента может повлечь за собой распад или полное отщепление пиримидоксаминовой группировки. Не исключено, что в той или иной степени реализуются все три перечисленные возможности.

На разностном синтезе электронной плотности ( $P\text{-}Pxy\text{-}\epsilon\text{-Lys-7-RNase S}$ ) в комплексе с 3'-СМР при разрешении  $5 \text{ \AA}$  удалось выделить три области

(рис. 4);  $B_1$  — область пиримидинового основания,  $R_1$  — область расположения рибозы и  $P_1$  — место расположения фосфатной группы нуклеотида.

При наложении разностных синтезов комплекса (P-Pxy)- $\epsilon$ -Lys-7-RНКазы S с нуклеотидом и РНКазы S, модифицированной по 41-му остатку лизина, оказалось, что пиримидиновый цикл фосфопириодоксильного остатка<sup>1</sup> в (P-Pxy)- $\epsilon$ -Lys-41-RНКазы S частью своей заходит в область  $R_1$ , фосфатная группа попадает в область  $P_1$  (рис. 4). Если обратиться к трехмерной модели молекулы РНКазы S, то можно видеть, что остаток пиридоксамина-P, связанный с  $\epsilon$ -аминогруппой Lys-41 связью C—N, фиксирован многоточечными контактами в зоне активного центра и блокирует вход в щель активного центра, препятствуя специальному связыванию нуклеотида.

Совершенно иная картина наблюдается в случае (P-Pxy)- $\epsilon$ -Lys-7-RНКазы S. Здесь пиридоксамил-P заходит только в область  $P_1$  своей фосфатной группой (рис. 5): щель активного центра остается открытой и этого достаточно для того, чтобы нуклеотид вошел в нее и вытеснил фосфатную группу фосфопириодоксильного остатка из катионного участка. В данном случае ситуация близка к той, при которой фосфат- или сульфат-ион связаны в активном центре РНКазы и вытесняются оттуда при образовании специфического комплекса с нуклеотидами.

В работе по детальному исследованию физико-химических свойств фосфопириодоксил-РНКазы методами КД, УФ-, и ЯМР-спектроскопии было определено положение фосфопириодоксильного остатка относительно функциональных групп активного центра в растворе [3]. Сопоставление данных работы [3] и результатов, полученных в настоящей работе, показывает, что имеется качественное соответствие в положении фосфопириодоксильного остатка в третичной структуре РНКазы в кристалле и в растворе.

### Экспериментальная часть

РНКазу S (фосфопириодоксил-РНКазу S) получали из РНКазы A (фосфопириодоксил-РНКазы A) по описанной ранее методике [3].

**Кристаллизация.** Кристаллы РНКазы S были выращены так же, как описано в работе [7]. Для получения кристаллов (P-Pxy)- $\epsilon$ -Lys-7(41)-РНКазы S методика была несколько изменена; 55 мг лиофилизованной, свободной от солей модифицированной РНКазы S растворяли в 0,75 мл 6 М CsCl, приливали 0,15 мл 2 М натрий-фосфатного буфера (рН 5,5) и при постоянном перемешивании осторожно добавляли 0,6 мл насыщенного раствора сульфата аммония. Прибавлением 1 М уксусной кислоты pH смеси доводили до 5,5 и фильтровали по 50—70 мкл в пробирки, которые плотно закрывали пробками. Кристаллы растут при комнатной температуре и через 7—10 сут достигают необходимых размеров. Для рентгеноструктурных исследований оптимальные размеры кристаллов  $0,4 \times 0,5 \times 0,6$  мм<sup>3</sup>. Перед съемкой кристаллы отмывали от CsCl раствором, содержащим 65% насыщения сульфата аммония и 0,2 М натрий-фосфатного буфера (рН 5,5).

Кристаллы РНКазы S (P-Pxy)- $\epsilon$ -Lys-7-РНКазы S и (P-Pxy)- $\epsilon$ -Lys-41-РНКазы S оказались изоморфны друг другу и изоморфны кристаллам РНКазы S, на которых проводились структурные исследования в группе Вайкофа (кристаллическая модификация Y в номенклатуре Вайкофа [7]).

**Рентгеновские измерения.** Измерения интенсивностей дифракционных отражений от кристаллов РНКазы S (фосфопириодоксил РНКазы S) проводили на трехкружном полуавтоматическом дифрактометре фирмы «Eugraf Nonius» (Голландия) с использованием фильтрованного СиK<sub>α</sub> излучения. Режим измерений 30 кв·32 ма. Применили  $\omega$ -метод сканирования. Съемка в областях  $0^\circ \leq \chi \leq 90^\circ$  и  $30^\circ \leq \Phi \leq 150^\circ$  позволяла получить два эквивалентных набора интенсивностей ( $\sim 1200$  отражений).

При обработке интенсивностей вводили поправки на LP и поглощение (по методу Норта-Филлипса [8]) и усредняли интенсивности эквивалентных

Производная	$R_F = \frac{\Sigma  F_1 - F_W ^*}{\Sigma F_1}$	$R'_F = \frac{\Sigma  F_1 - F_N ^{**}}{\Sigma F_1}$
РНКаза S	0,10	—
(P-Pxy)-ε-Lys-41-РНКаза S	0,13	0,07
(P-Pxy)-ε-Lys-7-РНКаза S	0,12	0,07
(P-Pxy)-ε-Lys-7-РНКаза S + 3'-CMP	0,20	0,18

\*  $F_W$  — модуль структурной амплитуды РНКазы S (по данным Вайкофа).

\*\*  $F_N$  — модуль структурной амплитуды РНКазы S (по данным авторов работы).

отражений. Для оценки точности эксперимента рассчитывали фактор согласования интенсивностей эквивалентных отражений

$$R_F = \frac{\Sigma |F_1 - F_2|}{\Sigma F_1},$$

который для всех кристаллов не превышал 5%.

Сравнение наборов структурных амплитуд, полученных от кристаллов модифицированной РНКазы S, с набором структурных амплитуд для РНКазы S проводили по величине  $R_F$  (см. таблицу).

*Расчет и интерпретация разностных синтезов Фурье.* Разностные синтезы Фурье рассчитывали, как рекомендовано в работе [9], по коэффициентам Фурье

$$2m(kF_M - F_P) \exp i\varphi_P \text{ для рефлексов общего типа,}$$

$$m(kF_M - F_P) \exp i\varphi_P \text{ для центросимметричных рефлексов,}$$

где  $F_M$  — значение структурной амплитуды кристаллов РНКазы S, модифицированной пиридоксал-Р,  $F_P$  и  $\varphi_P$  — значения амплитуды и фазы структурного фактора кристаллов РНКазы S по данным Вайкофа и соавт. (в качестве  $F_P$  брали также значения структурных амплитуд, полученных нами в результате съемки кристаллов немодифицированной РНКазы S),  $m$  — figure of merit — (показатель достоверности определения фаз — данные Вайкофа),  $k$  — шкальный фактор.

Для расчета синтезов Фурье использовали программы комплекса «Рентген», созданного в ФИХФ АН СССР под руководством Б. Л. Тарнопольского. Переход к моноклинной сингонии (пространственная группа В 2), которая оказалась наиболее удобной при использовании программ этого комплекса, потребовал написания программы переиндексации и размножения рефлексов с последующей сортировкой и переходом к безиндексному виду записи.

Разностные синтезы, посчитанные с использованием в качестве  $F_P$  данных Вайкофа и данных, полученных нами при съемке кристаллов РНКазы S, в основном похожи, хотя в последнем случае уровень фона на разностных синтезах электронной плотности был заметно ниже.

Авторы выражают искреннюю признательность Э. Г. Арутюняну за помощь в выполнении эксперимента и при обсуждении результатов.

## ЛИТЕРАТУРА

- Richards F. M., Wyckoff H. W. (1971) in *The Enzymes* (Boyer P., ed.), vol. 4, Ed. 3, Chap. 24, p. 647–806, Academic Press, New York.
- Allewell N. M., Mitsui Y., Wyckoff H. W. (1973) *J. Biol. Chem.*, **248**, 5291–5298.
- Карпейский М. Я., Дудкин С. М., Сахаровский В. Г., Шляпников С. В., (1974) в сб. *Структура и функции активных центров ферментов*, стр. 183–203, «Наука», М.
- Abdallah M. A., Bielmann J.-F., Nordström B., Bränden C.-I. (1975) *Eur. J. Biochem.*, **50**, 475–481.
- Wyckoff H. W., Tsernoglou D., Hanson A. W., Knox J. R., Lee B., Richards F. M. (1970) *J. Biol. Chem.*, **245**, 305–328.

6. Richards F. M., Wyckoff H. W., Carlson W. D., Allewell N. M., Lee B., Mitsui Y. (1971) Cold Spring Harbor Symp. Quant. Biol., **36**, 35—43.
7. Wyckoff H. W., Hardman K. D., Allewell N. M., Inagami T., Tsernoglou D., Johnson L. N., Richards F. M. (1967) J. Biol. Chem., **242**, 3749—3753.
8. North A. C. T., Phillips D. C., Mathews F. S. (1968) Acta Cryst., **A24**, 351—359.
9. Henderson R., Moffat J. K. (1971) Acta Cryst., **B27**, 1414—1420.

Поступила в редакцию  
28.V.1975

### X-RAY STUDIES OF RIBONUCLEASE S MODIFIED WITH PYRIDOXAL 5'-PHOSPHATE

BORISOVA S. N., PAVLOVSKY A. G., BORISOV V. V., KARPEISKY M. Ya., VAINSSTEIN B. K., SOSFENOV N. I.

*Institute of Crystallography and Institute of Molecular Biology,  
Academy of Sciences of the USSR, Moscow*

The details of three-dimensional structure of the active site of pancreatic ribonuclease have been studied by the X-ray analysis of crystals of modified ribonuclease S. The crystals of the two modifications of ribonuclease S were grown, with pyridoxal 5'-phosphate being combined at  $\epsilon$ -amino groups of Lys-7 and Lys-41. X-ray studies of these crystals at 5 Å resolution revealed the localization of the phosphopyridoxyl residue in the protein active site. In the case of Lys-41 modification the steric barriers to specific binding of nucleotides were observed.